

### III-3 地盤凍結工法における2,3の問題点

京都大学	正員	工博	村山 朔郎
京都大学		理博	奥田 節夫
東京都交通局	正員		遠藤 浩三
東京都交通局	正員		○村田 浩

#### 1.はじめに

転換化の一途をたどる大都市事情により近年東京、大阪における上下水道、地下鉄等の特殊部工事に地盤凍結工法が採用され、いつもも成功をおさめている。この工法は地盤を凍結し、固結することにより構造物を安全に、しかも確実に築造できる方法であるが、一方実施にあたり解明せねばならぬ諸問題が残されている。即ち(1)凍結、解凍時の凍土の土質力学的問題点、(2)凍結機構における熱力学的問題点であるが、特に土木工学上 1)凍土の体積変化、2)凍土の強度、3)凍結下のコンクリートの受け影響 4)地下水水流速と凍結範囲との相関性係等が問題点と考えられる。こゝに東京都交通局地下鉄建設工事において凍結工法を採用し、事前にこれらを現地で調査、試験を行つて報告するものである。

#### 2. 凍土の体積変化 (東京都港区、金杉橋際 昭和38年12月実施)

凍土の体積変化は工質、含水量、温度等に影響される。一般的に透水性のある工質は凍結進行に伴い間隙水が比較的逃げ易いといはれている。そこで非透水性の土質をサンプリングし、 $-30^{\circ}\text{C}$  の  $\text{CaCl}_2$  ブライン中に120時間浸し測定の結果最大1%の線膨張が認められ、解凍後は0.28%収縮した。

膨張する際の膨張力（寒冷地では普通これを凍土力を呼んでいる）が如何程であるかは目下研究されており、定量的に判明してない。しかし凍土力以上の荷重があれば凍土力を押え、小さくすることができるよう。凍結箇所附近に他の構造物があれば、凍土の体積変化を一応考慮し、必要であればその措置を講ずべきである。

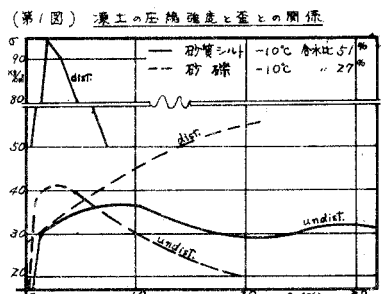
#### 3. 凍土の強度 (実施箇所は同上、昭和40年2月～11月)

凍土の強度は凍結温度、土質、含水量に左右されるが、一般的に圧縮強度は温度が低い程、特に同一温度の場合粒径の大きい程大であり、温度一定の場合は工質により或る含水量の時最大値を示すものとされている。

現地での搅乱、不擾乱試料を採取し、モールドし実験の結果は第1圖のとおりである。この結果を基にして温度と圧縮強度の関係、含水比と圧縮強度の関係、含水比と引張強度の関係等は目下作成中で、講演会当日までに間に合えば発表したい。

#### 4. 凍結下のコンクリートの受け影響 (実施は同上、凍結深壁内)

コンクリートは $-5^{\circ}\text{C} \sim -10^{\circ}\text{C}$ の凍土面に近接して打設せざるを得ない。従って何等かの保護を行はねばならず、凍結時に如何なる影響が及ぶかを現場において種々の養生方法のじとにコンクリートづ



溫度降下，觀察土：以壓縮強度試驗進行。及。

その結果は表-1のとおりであるが、小細胞は早強セメントでも普通セメントでも殆んど変りず打設後20時間目位が最大となり、 $45^{\circ}\text{C} \sim 50^{\circ}\text{C}$ である。しかし凍害よりの防護上、早強セメントを使用し $\Delta T$ を小さくし、コンクリートの打設後の温度降下を $25^{\circ}\text{C/day}$ 以内にすることが望ましい。

左の標準養生の門90%を基に算出。

5. 地下水流と凍結範囲との相関性 (東京都品川区、五反田大橋解 昭和40年8月~11月)

ブライン冷却方式において地下水流が大であるときは、それが冷却管の熱負荷や、特に凍結速度に重大な影響をもつニ。これは予想されていながら未だその文献はない。

地下水水流の測定方法は第3図のように投入管中に螢光染料水と $\text{CaNaCl}$ を入れ、また測定管内に電気伝導度計を設置、それから到達を待ち受けた。測定の結果一ヶ所附近に河川流下の方向に $0.046\text{ m/sec}$ の最大流速を認めめた。一方管内にカーバイドを投入加熱後、低下温度分布を測定し(第4図)、また上流側には凍結单管を埋設、その周辺に温度計2ヶ所を設置して地中温度分布を測定した(第5図)。その後、解凍状態を観察した。

その結果、矢張リーグ附近の凍結面の生長が延び悩み、状態にあることが判明した。そこで止水を目的にセメント、ベントナイト液を注入し測定により凍結面が急速に生長した。正認め、効果大であった。それ解凍し長時間での凍結を保っていた。

地下水流速も測定したが注入層より約5m離隔された所であり、遺憾ながら地下水流速と凍結範囲との定量的相関を検討得られなかつた。

このように注入等を実施し流速遮断と計れば凍結生長を助長、また凍結管相互の干涉を考慮すれば凍結は更に促進され、解凍も24時間ほどで停電に対して安全であることが確認された。

## 6. まわりに

以上凍結工法における諸問題を述べたが、これ以外凍土ヘクリーフ<sup>o</sup>、断熱凍結版、凍結状態等の実験も併せて行なった。これが別々の機会でみて発表したい。

19世紀末に開発されたこの地盤凍結工法は諸技術の進歩と共に、それに加えて諸外国の類例をみると、京都大学防災研究所における一連の実験と理論的解析が結果として極めて有効な工法となりた。そして工事計画においては以上のようすを問題点を抽出し、検討し、対応する工程を確実に施工できる確信を得て次第である。

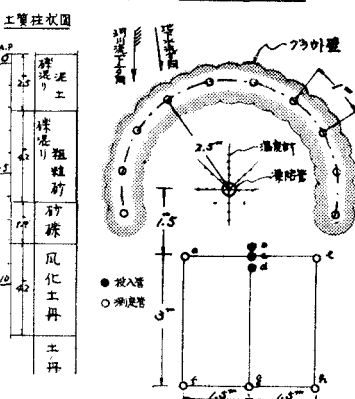
参考文献： 高志 劍（大阪精研冷感 理博） 工場凍結工法 [I]～[V]（日本冷凍協会）

(表-1) コンクリートの圧縮強度

No.	養生方法	セメント	G% %	摘要
No.1-A	松板 15"	普通	184	
No.2-A	断熱材 51"	"	185	断熱材15mm不使用
No.3-A	松板+断熱材 66"	"	181	"
No.4-A	断熱材 板厚 15mm 200 + 60" + 25"	"	200	"
No.5-A	板厚 60"	"	191	"
No.6-A	断熱材 300" + "	早強	271	"
No.8	標準養生	普通	200 1.1%	重量 2.4%
No.10	"	早強	297 1.3%	2.9%

(第2圖)

(第3回) グラウト測量管位置図



(第4圖)

(第5圖) 滲透菌生長圖

